

Letzte Aktualisierung der Informationen: Oktober 2024

Produktkonfiguration: QX16

QX16: Palco Einzeleinbauleuchte Ø37 - Spot - Remote-Vorschaltgerät



Produktcode

QX16: Palco Einzeleinbauleuchte Ø37 - Spot - Remote-Vorschaltgerät

Beschreibung

Miniaturisierter schwenkbarer Strahler für die Installation als Einbauleuchte. Korpus des Strahlers mit Wärmeableitungssystem aus Aluminiumdruckguss - Rotationselement aus Zamakdruckguss - Einbau-Anschlussdose aus gedrehtem Aluminium - Befestigungsfedern aus Stahldraht. Die Gelenke des Strahlers ermöglichen eine Drehung um 360° und eine Neigung um 90°. Die Optik-Einheit in zurückgesetzter Position gewährleistet dank der Hochauflösungsreflektoren aus Thermoplast einen hohen Sehkomfort. Versorgungseinheit nicht inbegriffen, mit getrenntem Code verfügbar.

Installation

Einbau-Anschlussdose mit Anschlag an der Oberfläche - Blockierfedern aus Stahldraht für abgehängte Decken mit einer Stärke von 1 bis 25 mm - Einbauöffnung Ø36 mm.

Farben

Weiß (01) | Schwarz (04)

Gewicht (Kg)

0.12

Montage

Wandeinbauleuchte|Deckeneinbauleuchte

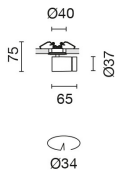
Verkabelung

Austretende Kabel für den Anschluss an die Versorgungsleitung.

Anmerkungen

Technisches Zubehör und Blendschutz verfügbar.

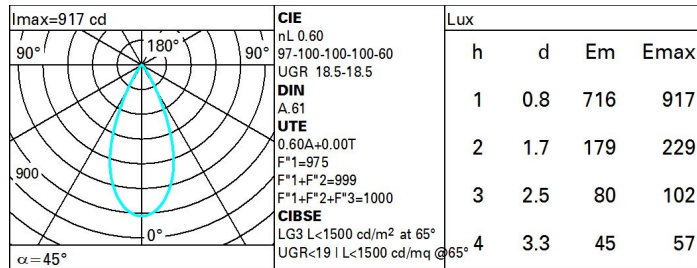
Gemäß der Normen EN60598-1 u. Sondernormen



Technische Daten

| | | | |
|---|------|-----------------------------------|---------------------------------|
| Im System: | 504 | CRI (minimum): | 90 |
| W System: | 8.1 | Farbtemperatur [K]: | 4000 |
| Im Lichtquelle: | 840 | MacAdam Step: | 2 |
| W Lichtquelle: | 8.1 | Lebensdauer LED 1: | > 50,000h - L90 - B10 (Ta 25°C) |
| Lichtausbeute (lm/W, Systemwert): | 62.2 | Lampencode: | LED |
| Im im Notlichtbetrieb: | - | Anzahl Lampen in Leuchtengehäuse: | 1 |
| abgegebener Lichtstrom bei/ über einem Winkel von 90° [lm]: | 0 | ZVEI-Code: | LED |
| Leuchtenbetriebswirkungsgrad 60 (L.O.R.) [%]: | | Anzahl Leuchtengehäuse: | 1 |
| Abstrahlwinkel [°]: | 45° | LED Strom [mA]: | 650 |

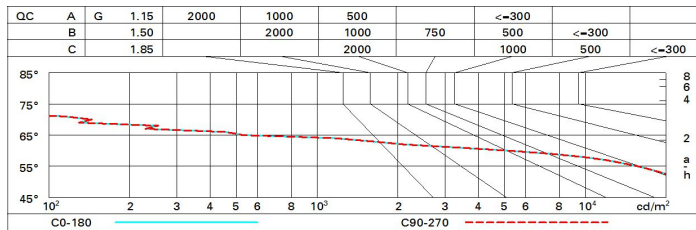
Polardiagramm



Wirkungsgrad

| R | 77 | 75 | 73 | 71 | 55 | 53 | 33 | 00 | DRR |
|------|----|----|----|----|----|----|----|----|-----|
| K0.8 | 54 | 51 | 49 | 47 | 50 | 48 | 48 | 46 | 77 |
| 1.0 | 56 | 53 | 51 | 50 | 53 | 51 | 51 | 49 | 81 |
| 1.5 | 59 | 57 | 55 | 54 | 56 | 55 | 54 | 53 | 88 |
| 2.0 | 61 | 59 | 58 | 57 | 59 | 58 | 57 | 55 | 92 |
| 2.5 | 62 | 61 | 60 | 59 | 60 | 59 | 59 | 57 | 95 |
| 3.0 | 63 | 62 | 61 | 61 | 61 | 61 | 60 | 58 | 97 |
| 4.0 | 64 | 63 | 63 | 62 | 62 | 62 | 61 | 59 | 99 |
| 5.0 | 64 | 64 | 63 | 63 | 63 | 62 | 61 | 60 | 100 |

Söllner-Diagramm



UGR-Diagramm

| Corrected UGR values (at 840 lm bare lamp luminous flux) | | | | | | | | | | | |
|--|------|------------------|------|------|------|------|----------------|------|------|------|------|
| Reflect.: | | viewed crosswise | | | | | viewed endwise | | | | |
| ceiling/cav | | 0.70 | 0.70 | 0.50 | 0.50 | 0.30 | 0.70 | 0.70 | 0.50 | 0.50 | 0.30 |
| walls | | 0.50 | 0.30 | 0.50 | 0.30 | 0.30 | 0.50 | 0.30 | 0.50 | 0.30 | 0.30 |
| work pl. | | 0.20 | 0.20 | 0.20 | 0.20 | 0.20 | 0.20 | 0.20 | 0.20 | 0.20 | 0.20 |
| Room dim | | | | | | | | | | | |
| x | y | | | | | | | | | | |
| 2H | 2H | 19.0 | 19.7 | 19.3 | 19.9 | 20.1 | 19.0 | 19.7 | 19.3 | 19.9 | 20.1 |
| | 3H | 18.9 | 19.5 | 19.2 | 19.7 | 20.0 | 18.9 | 19.5 | 19.2 | 19.7 | 20.0 |
| | 4H | 18.8 | 19.3 | 19.1 | 19.6 | 19.9 | 18.8 | 19.4 | 19.2 | 19.7 | 20.0 |
| | 6H | 18.7 | 19.2 | 19.1 | 19.5 | 19.9 | 18.8 | 19.2 | 19.1 | 19.6 | 19.9 |
| | 8H | 18.7 | 19.2 | 19.1 | 19.5 | 19.8 | 18.7 | 19.2 | 19.1 | 19.5 | 19.9 |
| | 12H | 18.7 | 19.1 | 19.0 | 19.5 | 19.8 | 18.7 | 19.1 | 19.1 | 19.5 | 19.8 |
| 4H | 2H | 18.8 | 19.4 | 19.2 | 19.7 | 20.0 | 18.8 | 19.3 | 19.1 | 19.6 | 19.9 |
| | 3H | 18.7 | 19.1 | 19.1 | 19.5 | 19.8 | 18.7 | 19.1 | 19.1 | 19.5 | 19.8 |
| | 4H | 18.6 | 19.0 | 19.0 | 19.4 | 19.7 | 18.6 | 19.0 | 19.0 | 19.4 | 19.7 |
| | 6H | 18.5 | 18.8 | 18.9 | 19.2 | 19.7 | 18.5 | 18.8 | 18.9 | 19.2 | 19.7 |
| | 8H | 18.5 | 18.8 | 18.9 | 19.2 | 19.6 | 18.5 | 18.8 | 18.9 | 19.2 | 19.6 |
| | 12H | 18.4 | 18.7 | 18.9 | 19.1 | 19.6 | 18.4 | 18.7 | 18.9 | 19.1 | 19.6 |
| 8H | 4H | 18.5 | 18.8 | 18.9 | 19.2 | 19.6 | 18.5 | 18.8 | 18.9 | 19.2 | 19.6 |
| | 6H | 18.4 | 18.6 | 18.8 | 19.1 | 19.5 | 18.4 | 18.6 | 18.8 | 19.1 | 19.5 |
| | 8H | 18.3 | 18.5 | 18.8 | 19.0 | 19.5 | 18.3 | 18.5 | 18.8 | 19.0 | 19.5 |
| | 12H | 18.3 | 18.5 | 18.8 | 18.9 | 19.5 | 18.3 | 18.5 | 18.8 | 18.9 | 19.5 |
| 12H | 4H | 18.4 | 18.7 | 18.9 | 19.1 | 19.6 | 18.4 | 18.7 | 18.9 | 19.1 | 19.6 |
| | 6H | 18.3 | 18.5 | 18.8 | 19.0 | 19.5 | 18.3 | 18.5 | 18.8 | 19.0 | 19.5 |
| | 8H | 18.3 | 18.5 | 18.8 | 18.9 | 19.5 | 18.3 | 18.5 | 18.8 | 18.9 | 19.5 |
| Variations with the observer position at spacing: | | | | | | | | | | | |
| S = | 1.0H | 5.2 / -8.8 | | | | | 5.2 / -8.8 | | | | |
| | 1.5H | 8.0 / -22.1 | | | | | 8.0 / -22.1 | | | | |
| | 2.0H | 10.0 / -34.7 | | | | | 10.0 / -34.7 | | | | |